

01;05;07

Модель потенциалов нулевого радиуса для планарного волновода в фотонном кристалле

© И.Ю. Попов

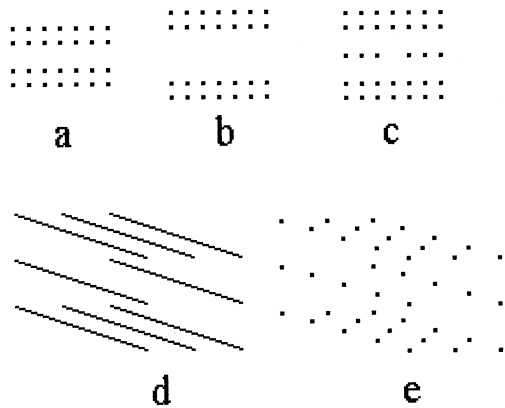
Институт точной механики и оптики, С.-Петербург

Поступило в Редакцию 9 февраля 1999 г.

Предложена модель потенциалов нулевого радиуса для описания волновода в фотонном кристалле. Рассмотрены двумерный и трехмерный случаи. Описаны слои, волноводы и связанные волноводы. Модельные дисперсионные уравнения получены в явном виде, описаны спектральные свойства.

Развитие нанотехнологии в настоящее время позволило получать материалы с периодически расположенными малыми включениями вещества с другой диэлектрической проницаемостью (например, в форме малых сферических частиц или тонких параллельных нитей). При этом характерные размеры таковы: диаметр включений порядка 100 nm, причем частицы занимают не более 0.1 объема. Это дало возможность получать новые оптические материалы — фотонные кристаллы (см., например, [1]), которые представляются чрезвычайно перспективными с точки зрения приложений, в частности, в волоконной оптике. Однако теоретическое описание подобных систем еще разработано недостаточно, что делает актуальным создание соответствующих теоретических методов [2–4]. В настоящей статье предлагается использовать метод потенциалов нулевого радиуса, основанный на теории самосопряженных расширенных симметрических операторов [5,6], для описания различных волноводных систем в фотонных кристаллах (см. рисунок, *a–e*).

Рассмотрим фотонный кристалл в виде трехмерной кубической решетки. Пусть размеры включений малы по сравнению с длиной волны. В модели предлагается заменить их на потенциалы нулевого радиуса. Пусть один слой центров в решетке отсутствует. Тогда мы имеем волноводный слой. В случае фиксированной поляризации (например, ТМ), допуская гармоническую зависимость от времени, сводим задачу к уравнению Гельмгольца. Для построения модели рассмотрим сначала



Рассматриваемые структуры: двумерная квадратная решетка: с одной незаполненной линией узлов (*a*), с тремя незаполненными линиями узлов (*b*), с двумя разделенными незаполненными линиями узлов (связанные волноводы) (*c*); трехмерная решеточная структура (волновод), эквивалентная двумерной структуре (решетка с одним незаполненным центром) (*d*); трехмерная решетка с незаполненной линией узлов (волновод) (*e*).

отдельно трехмерную решетку и мономолекулярный слой. Пусть Λ — решетка Браве с базисом a_1, a_2, a_3 , Γ — обратная решетка с базисом b_1, b_2, b_3 . Рассмотрим замыкание оператора Лапласа в $L_2(\mathbf{R}^3)$, суженного на множество функций, зануляющихся в узлах решетки. Это симметрический несамосопряженный оператор. "Включить" взаимодействие нулевого радиуса — значит построить его самосопряженное расширение. Учитывая периодичность, строим модельный оператор — Δ_Λ [5], спектр которого абсолютно непрерывен и имеет вид:

$$\sigma(-\Delta_\Lambda) = \sigma_{ac}(-\Delta_\Lambda) = [E_0^\Lambda(0), E_0^\Lambda(\theta_0)] \cup [E_1^\Lambda, \infty], \quad (1)$$

где

$$\theta_0 = -\frac{1}{2}(b_1 + b_2 + b_3),$$

$$E_1^\Lambda = \min\{E_{b_-}^\Lambda(0), \frac{1}{4}|b_-|^2\}.$$

Здесь $b_-, b_+ \in \{b_1, b_2, b_3\}$ таков, что $|b_-| \leq |b_j|$, $j = 1, 2, 3$. $E_0^{\Lambda}(0)$ — первый корень уравнения

$$\alpha = (2\pi)^{-3} \lim_{\omega \rightarrow \infty} \left[\sum_{\gamma \in \Gamma, |\gamma + \theta| \leq \omega} \frac{|\hat{\Lambda}|}{|\gamma + \theta|^2 - k^2} - 4\pi\omega \right], \quad \theta \in \hat{\Lambda}, \quad (2)$$

где $\hat{\Lambda} = \{s_1 b_1 + s_2 b_2 + s_3 b_3 \in \mathbf{R}^3, \quad s_j \in [-1/2, 1/2), \quad j = 1, 2, 3\}$,

$\hat{\Lambda}$ — зона Бриллюэна, θ — квазиимпульс, α — модельный параметр, связанный с "силой" потенциала.

Аналогичное рассмотрение проводится и для мономолекулярного слоя [5,7]. В результате получаем модельный оператор — Δ_{Λ_2} со следующим спектром:

$$\begin{aligned} \sigma(-\Delta_{\Lambda_2}) &= \sigma_{ac}(-\Delta_{\Lambda_2}) \\ &= \begin{cases} [E_0^{\Lambda_2}(0), \infty), & \alpha \geq \alpha_{\Lambda_2}, \\ [E_0^{\Lambda_2}(0), E_0^{\Lambda_2}(\theta_0)] \cup [0, \infty), & \alpha < \alpha_{\Lambda_2}, \end{cases} \end{aligned} \quad (3)$$

где $E_0^{\Lambda_2}(0)$, $E_0^{\Lambda_2}(\theta) = [k_0^{\Lambda_2}(\theta)]^2$ — корень уравнения

$$\alpha = (2\pi)^{-3} \pi \lim_{\omega \rightarrow \infty} \left[\sum_{\gamma \in \Gamma_2, |\gamma + \theta| \leq \omega} \frac{|\hat{\Lambda}_2|}{|\gamma + \theta|^2 - k^2} - 2\pi\omega \right], \quad \theta \in \hat{\Lambda}_2, \quad (4)$$

$$\mathcal{J}k_0^{\Lambda_2}(\theta) \geq 0, \quad [k_0^{\Lambda_2}(\theta)]^2 < |\theta|^2, \quad \theta_0 = -(b_1 + b_2)/2.$$

Более того, $E_0^{\Lambda_2}(0) < E_0^{\Lambda_2}(\theta_0) < 0$ для $\alpha < \alpha_{\Lambda_2}$,

$$\alpha_{\Lambda_2} = \frac{1}{8\pi^2} \lim_{\omega \rightarrow \infty} \left[\sum_{\gamma \in \Gamma_2, |\gamma + \theta_0| \leq \omega} \frac{|\hat{\Lambda}_2|}{|\gamma + \theta_0|^2} - 2\pi\omega \right].$$

Точно такой же анализ проводится и для линейного полимера. Спектр соответствующего модельного оператора — Δ_{Λ_1} таков:

$$\begin{aligned} \sigma(-\Delta_{\Lambda_1}) &= \sigma_{ac}(-\Delta_{\Lambda_1}) \\ &= \begin{cases} [E_0^{\alpha, \Lambda_1}, \infty), & \alpha \geq -(\ln 2)/2\pi\alpha, \\ [E_-^{\alpha, \Lambda_1}, E_+^{\alpha, \Lambda_1}] \cup [0, \infty), & \alpha < -(\ln 2)/2\pi\alpha, \end{cases} \end{aligned} \quad (5)$$

где

$$E_{\pm}^{\alpha, \Lambda_1} = -\alpha^{-2} \left\{ \ln \left[\mp 1 + \frac{1}{2} e^{-4\pi\alpha a} + e^{-2\pi\alpha a} \sqrt{\frac{1}{4} e^{\pi\alpha a} \mp 1} \right] \right\}^2. \quad (6)$$

Теперь по той же схеме строим модель проводящего слоя в фотонном кристалле. Легко видеть, что при этом возникающая в дисперсионном уравнении решеточная сумма распадается на разность соответствующих решеточных сумм для полного кристалла и для мономолекулярного слоя. Поэтому учитывая (2), (4), получаем следующее дисперсионное уравнение:

$$\alpha = (2\pi)^{-3} \left(\lim_{\omega \rightarrow \infty} \left[\sum_{\gamma \in \Gamma, |\gamma + \theta| \leq \omega} \frac{|\hat{\Lambda}_1|}{|\gamma + \theta|^2 - k^2} - 4\pi\omega \right] - \pi \lim_{\omega \rightarrow \infty} \left[\sum_{\gamma \in \Gamma_2, |\gamma + \theta| \leq \omega} \frac{|\hat{\Lambda}_2|}{|\gamma + \theta|^2 - k^2} - 2\pi\omega \right] \right). \quad (7)$$

Принимая во внимание поведение функций в правой части уравнения, приходим к выводу, что имеется, вообще говоря, две зоны ("зона кристалла" и "зона слоя"), которые могут пересекаться. Их положение зависит от соотношений между $E_0^{\Lambda_2}(0)$, $E_0^{\Lambda_2}(\theta_0)$, $E_0^{\Lambda}(0)$, $E_0^{\Lambda}(\theta_0)$, E_1^{Λ} (см. (1), (3)). Состояния, соответствующие "зоне слоя", описывают распространение фотона вдоль слоя, т. е. волноводный эффект.

Точно такой же анализ проводится для волноводной структуры (см. рисунок, *c*), только здесь роль второго слагаемого играет решеточная сумма для линейного полимера, которая приводит к появлению "волноводной" зоны, связанной с соответствующей зоной (5).

Двумерные задачи, возникающие при описании структур, состоящих из параллельных диэлектрических нитей, решаются аналогично. Необходимо лишь заменить функцию Грина для трехмерного пространства $\exp(ik|\gamma|)/(4\pi|\gamma|)$ на функцию Грина для плоскости $\frac{i}{4}H_0^{(1)}(k|\gamma|)$. Отметим, что если отсутствует не один, а несколько (n) слоев (рисунок, *b*), то и волноводных зон, вообще говоря, n , хотя они могут перекрываться. Это соответствует результату [8]. Можно рассмотреть и более сложную структуру — связанные волноводы (рисунок, *c*). При этом дополнительно к зонам появляется связанное состояние, происходящее

из собственного значения уединенного потенциала нулевого радиуса на плоскости. Этот результат соответствует результатам [8] для искривленного волновода и [9], [10] для связанных волноводов с непрозрачными стенками.

Работа поддержана РФФИ и Международным научным фондом.

Автор благодарит П. Кучмента за полезные обсуждения.

Список литературы

- [1] *Joannopoulos J.D., Meade R.D., Winn J.N.* Photonic Crystals. Princeton: Princeton University Press, 1995. 312 с.
- [2] *Figotin A., Kuchment P.* // SIAM J. Appl. Math. 1998. V. 58. P. 683–702.
- [3] *Moroz A., Tip A.* // Phys. Lett. A. 1997. V. 235. P. 195–199.
- [4] *Combes J.-M.* // Int. Conf. "Rigorous Results in Quantum Mechanics", Prague, Czech Tech. Univ. 1998. Abstracts, p. 3.
- [5] *Albeverio S., Gesztesy F., Hoegh-Krohn R.* Holden H. Solvable Models in Quantum Mechanics. Berlin: Springer, 1988. 566 с.
- [6] *Павлов Б.С.* // УМН. 1987. Т. 42. N 6. С. 99–131.
- [7] *Карпешина Ю.Е.* // ТМФ. 1983. Т. 57. N 3. С. 414–423.
- [8] *Mekis A., Fan S., Joannopoulos J.D.* // Phys. Rev. B. 1998. V. 58. P. 4809–4817.
- [9] *Попов И.Ю.* // Reports on Math. Phys. 1997. V. 40. P. 521–529.
- [10] *Попов И.Ю.* // Письма в ЖТФ. 1999. Т. 25. N 3. С. 57–59.